

# Algorithmen für Routenplanung

16. Sitzung, Sommersemester 2014

Moritz Baum | 02. Juli 2014

INSTITUT FÜR THEORETISCHE INFORMATIK · ALGORITHMIK · PROF. DR. DOROTHEA WAGNER



## Szenario:

- Historische Daten für Verkehrssituation verfügbar
- Verkehrssituation vorhersagbar
- Berechne schnellsten Weg bezüglich der erwarteten Verkehrssituation (zu einem gegebenen Startzeitpunkt)

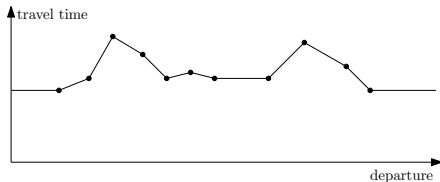


## Eingabe:

- Durchschnittliche Reisezeit zu bestimmten Zeitpunkten
- Jeden Wochentag verschieden
- Sonderfälle: Urlaubszeit

## Somit an jeder Kante:

- Periodische stückweise lineare Funktion
- Definiert durch Stützpunkte
- Interpoliere linear zwischen Stützpunkten



## Definition

Sei  $f : \mathbb{R}_0^+ \rightarrow \mathbb{R}_0^+$  eine Funktion.  $f$  erfüllt die *FIFO-Eigenschaft*, wenn für jedes  $\varepsilon > 0$  und alle  $\tau \in \mathbb{R}_0^+$  gilt, dass

$$f(\tau) \leq \varepsilon + f(\tau + \varepsilon).$$

## Diskussion

- Interpretation: “Warten/Später ankommen lohnt sich nie”
- Kürzeste Wege auf Graphen mit non-FIFO Funktionen zu finden ist NP-schwer.

(wenn warten an Knoten nicht erlaubt ist)

⇒ Sicherstellen, dass Funktionen FIFO-Eigenschaft erfüllen.

## Eigenschaften:

- Topologie ändert sich nicht
- Kanten gemischt zeitabhängig und konstant
- variable (!) Anzahl Interpolationspunkte pro Kante

## Eigenschaften:

- Topologie ändert sich nicht
- Kanten gemischt zeitabhängig und konstant
- variable (!) Anzahl Interpolationspunkte pro Kante

## Beobachtung:

- FIFO gilt auf allen Kanten

Ziel: finde kürzesten Weg für Abfahrtszeit  $\tau$

---

Time-Dijkstra( $G = (V, E), s, \tau$ )

---

```
1  $d_\tau[s] = 0$ 
2  $Q.clear(), Q.add(s, 0)$ 
3 while ! $Q.empty()$  do
4      $u \leftarrow Q.deleteMin()$ 
5     for all edges  $e = (u, v) \in E$  do
6         if  $d_\tau[u] + \text{len}(e, \tau + d_\tau[u]) < d_\tau[v]$  then
7              $d_\tau[v] \leftarrow d_\tau[u] + \text{len}(e, \tau + d_\tau[u])$ 
8              $p_\tau[v] \leftarrow u$ 
9             if  $v \in Q$  then  $Q.decreaseKey(v, d_\tau[v])$ 
10            else  $Q.insert(v, d_\tau[v])$ 
```

---

## Beobachtung:

- Nur ein Unterschied zu Dijkstra
- Auswertung der Kanten

## Beobachtung:

- Nur ein Unterschied zu Dijkstra
- Auswertung der Kanten

## non-FIFO Netzwerke:

- Im Kreis fahren kann sich lohnen
- NP-schwer (wenn warten an Knoten nicht erlaubt ist)
- Transportnetzwerke sind FIFO modellierbar (notfalls Multikanten)

Ziel: finde kürzesten Weg für alle Abfahrtszeitpunkte

---

Profile-Search( $G = (V, E), s$ )

---

```
1  $d_*[s] = 0$ 
2  $Q.clear(), Q.add(s, 0)$ 
3 while ! $Q.empty()$  do
4    $u \leftarrow Q.deleteMin()$ 
5   for all edges  $e = (u, v) \in E$  do
6     if  $d_*[u] \oplus \text{len}(e) \not\leq d_*[v]$  then
7        $d_*[v] \leftarrow \min(d_*[u] \oplus \text{len}(e), d_*[v])$ 
8       if  $v \in Q$  then  $Q.decreaseKey(v, \underline{d}[v])$ 
9       else  $Q.insert(v, \underline{d}[v])$ 
```

---

## Beobachtungen:

- Operationen auf Funktionen
- Priorität im Prinzip frei wählbar  
( $d[u]$  ist das Minimum der Funktion  $d_*[u]$ )
- Knoten können mehrfach besucht werden  $\Rightarrow$  label-correcting

## Herausforderungen:

- Wie effizient  $\oplus$  berechnen (Linken)?
- Wie effizient Minimum bilden?

## Funktion gegeben durch:

- Menge von Interpolationspunkten
- $I^f := \{(t_1^f, w_1^f), \dots, (t_k^f, w_k^f)\}$

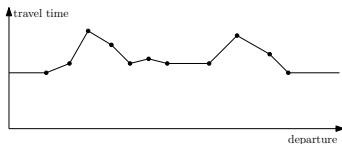
## 3 Operationen notwendig:

- Auswertung
- Linken  $\oplus$
- Minimumsbildung

## Evaluation von $f(\tau)$ :

- Suche Punkte mit  $t_i \leq \tau$  und  $t_{i+1} \geq \tau$
- dann Evaluation durch

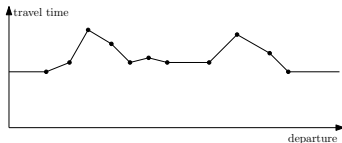
$$f(\tau) = w_i + (\tau - t_i) \cdot \frac{w_{i+1} - w_i}{t_{i+1} - t_i}$$



## Evaluation von $f(\tau)$ :

- Suche Punkte mit  $t_i \leq \tau$  und  $t_{i+1} \geq \tau$
- dann Evaluation durch

$$f(\tau) = w_i + (\tau - t_i) \cdot \frac{w_{i+1} - w_i}{t_{i+1} - t_i}$$



## Problem:

- Finden von  $t_i$  und  $t_{i+1}$
- Theoretisch:
  - Lineare Suche:  $\mathcal{O}(|I|)$
  - Binäre Suche:  $\mathcal{O}(\log_2 |I|)$
- Praktisch:
  - $|I| < 30 \Rightarrow$  lineare Suche
  - Sonst: Lineare Suche mit Startpunkt  $\frac{\tau}{\Pi} \cdot |I|$   
wobei  $\Pi$  die Periodendauer ist

## Definition

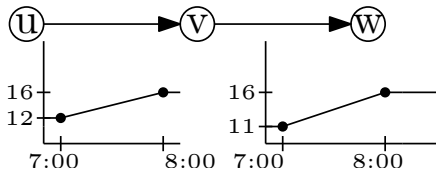
Seien  $f : \mathbb{R}_0^+ \rightarrow \mathbb{R}_0^+$  und  $g : \mathbb{R}_0^+ \rightarrow \mathbb{R}_0^+$  zwei Funktionen die die FIFO-Eigenschaft erfüllen. Die Linkoperation  $f \oplus g$  ist dann definiert durch

$$f \oplus g := f + g \circ (\text{id} + f)$$

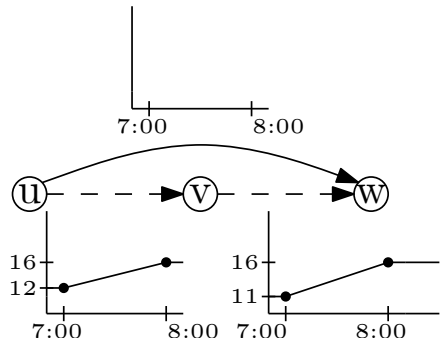
**Oder**

$$(f \oplus g)(\tau) := f(\tau) + g(\tau + f(\tau))$$

## Linken zweier Funktionen $f$ und $g$

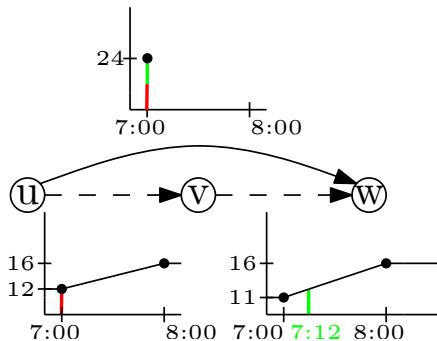


## Linken zweier Funktionen $f$ und $g$



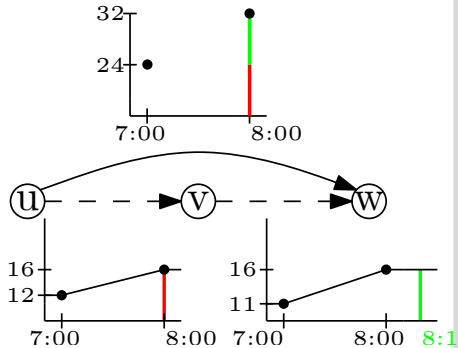
## Linken zweier Funktionen $f$ und $g$

- $f \oplus g$  enthält auf jeden Fall  
 $\{(t_1^f, w_1^f + g(t_1^f + w_1^f)), \dots, (t_l^f, w_l^f + g(t_l^f + w_l^f))\}$



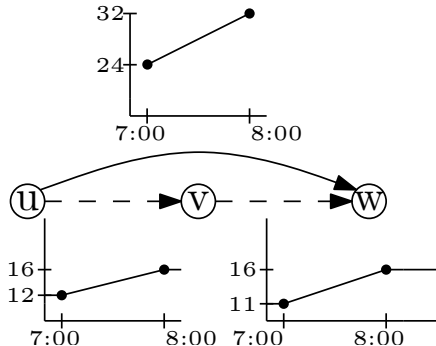
## Linken zweier Funktionen $f$ und $g$

- $f \oplus g$  enthält auf jeden Fall  
 $\{(t_1^f, w_1^f + g(t_1^f + w_1^f)), \dots, (t_l^f, w_l^f + g(t_l^f + w_l^f))\}$



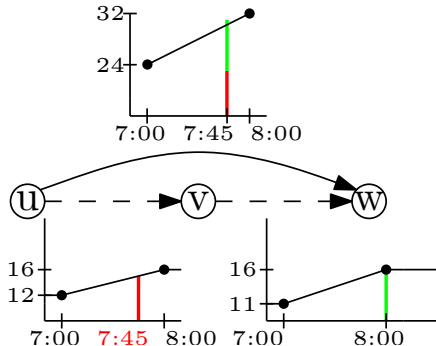
## Linken zweier Funktionen $f$ und $g$

- $f \oplus g$  enthält auf jeden Fall  
 $\{(t_1^f, w_1^f + g(t_1^f + w_1^f)), \dots, (t_l^f, w_l^f + g(t_l^f + w_l^f))\}$



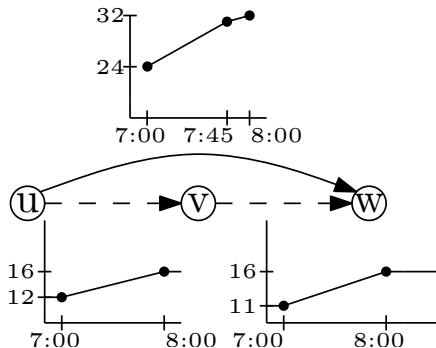
## Linken zweier Funktionen $f$ und $g$

- $f \oplus g$  enthält auf jeden Fall  
 $\{(t_1^f, w_1^f + g(t_1^f + w_1^f)), \dots, (t_l^f, w_l^f + g(t_l^f + w_l^f))\}$



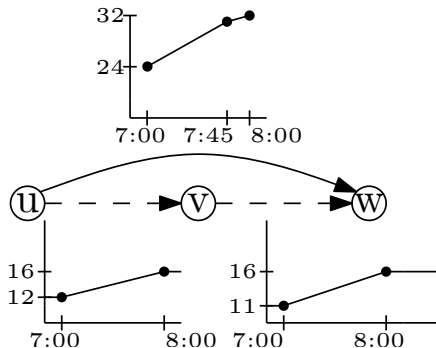
## Linken zweier Funktionen $f$ und $g$

- $f \oplus g$  enthält auf jeden Fall  $\{(t_1^f, w_1^f + g(t_1^f + w_1^f)), \dots, (t_j^f, w_j^f + g(t_j^f + w_j^f))\}$
- Zusätzliche Interpolationspunkte an  $t_j^{-1}$  mit  $f(t_j^{-1}) + t_j^{-1} = t_j^g$



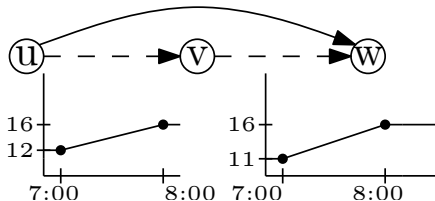
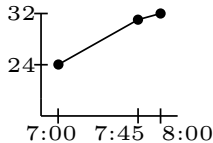
## Linken zweier Funktionen $f$ und $g$

- $f \oplus g$  enthält auf jeden Fall  $\{(t_1^f, w_1^f + g(t_1^f + w_1^f)), \dots, (t_j^f, w_j^f + g(t_j^f + w_j^f))\}$
- Zusätzliche Interpolationspunkte an  $t_j^{-1}$  mit  $f(t_j^{-1}) + t_j^{-1} = t_j^g$
- Füge  $(t_j^{-1}, f(t_j^{-1}) + w_j^g)$  für alle Punkte von  $g$  zu  $f \oplus g$



## Linken zweier Funktionen $f$ und $g$

- $f \oplus g$  enthält auf jeden Fall  $\{(t_1^f, w_1^f + g(t_1^f + w_1^f)), \dots, (t_j^f, w_j^f + g(t_j^f + w_j^f))\}$
- Zusätzliche Interpolationspunkte an  $t_j^{-1}$  mit  $f(t_j^{-1}) + t_j^{-1} = t_j^g$
- Füge  $(t_j^{-1}, f(t_j^{-1}) + w_j^g)$  für alle Punkte von  $g$  zu  $f \oplus g$
- Durch linearen Sweeping-Algorithmus implementierbar



## Laufzeit

- Sweep Algorithmus
- $\mathcal{O}(|I^f| + |I^g|)$
- Zum Vergleich: Zeitunabhängig  $\mathcal{O}(1)$

## Laufzeit

- Sweep Algorithmus
- $\mathcal{O}(|I^f| + |I^g|)$
- Zum Vergleich: Zeitunabhängig  $\mathcal{O}(1)$

## Speicherverbrauch

- Geknickte Funktion hat  $\approx |I^f| + |I^g|$  Interpolationspunkte

## Laufzeit

- Sweep Algorithmus
- $\mathcal{O}(|I^f| + |I^g|)$
- Zum Vergleich: Zeitunabhängig  $\mathcal{O}(1)$

## Speicherverbrauch

- Geknickte Funktion hat  $\approx |I^f| + |I^g|$  Interpolationspunkte

## Problem:

- Während Profilsuche kann ein Pfad mehreren Tausend Kanten entsprechen

## Laufzeit

- Sweep Algorithmus
- $\mathcal{O}(|I^f| + |I^g|)$
- Zum Vergleich: Zeitunabhängig  $\mathcal{O}(1)$

## Speicherverbrauch

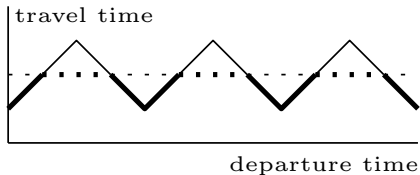
- Geknickte Funktion hat  $\approx |I^f| + |I^g|$  Interpolationspunkte

## Problem:

- Während Profilsuche kann ein Pfad mehreren Tausend Kanten entsprechen
- Shortcuts...

## Minimum zweier Funktionen $f$ und $g$

- Für alle  $(t_j^f, w_j^f)$ : behalte Punkt, wenn  $w_j^f < g(t_j^f)$
- Für alle  $(t_j^g, w_j^g)$ : behalte Punkt, wenn  $w_j^g < f(t_j^g)$
- Schnittpunkte müssen ebenfalls eingefügt werden

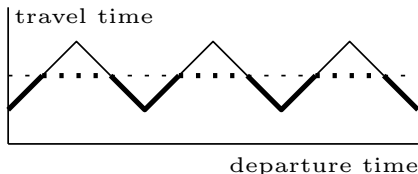


## Minimum zweier Funktionen $f$ und $g$

- Für alle  $(t_j^f, w_j^f)$ : behalte Punkt, wenn  $w_j^f < g(t_j^f)$
- Für alle  $(t_j^g, w_j^g)$ : behalte Punkt, wenn  $w_j^g < f(t_j^g)$
- Schnittpunkte müssen ebenfalls eingefügt werden

## Vorgehen:

- Linearer sweep über die Stützstellen
- Evaluiere, welcher Abschnitt oben
- Checke ob Schnittpunkt existiert
- Vorsicht bei der Numerik



## Laufzeit

- Sweep Algorithmus
- $\mathcal{O}(|I^f| + |I^g|)$
- Zum Vergleich: Zeitunabhängig:  $\mathcal{O}(1)$

## Laufzeit

- Sweep Algorithmus
- $\mathcal{O}(|I^f| + |I^g|)$
- Zum Vergleich: Zeitunabhängig:  $\mathcal{O}(1)$

## Speicherverbrauch

- Minimum-Funktion kann mehr als  $|I^f| + |I^g|$  Interpolationspunkte enthalten

## Laufzeit

- Sweep Algorithmus
- $\mathcal{O}(|I^f| + |I^g|)$
- Zum Vergleich: Zeitunabhängig:  $\mathcal{O}(1)$

## Speicherverbrauch

- Minimum-Funktion kann mehr als  $|I^f| + |I^g|$  Interpolationspunkte enthalten

## Problem:

- Während Profilsuche werden Funktionen gemergt
- Laufzeit der Profilsuchen wird durch diese Operationen (link + merge) dominiert

- Netzwerk Deutschland  $|V| \approx 4.7$  Mio.,  $|E| \approx 10.8$  Mio.
- 5 Verkehrsszenarien:
  - Montag:  $\approx 8\%$  Kanten zeitabhängig
  - Dienstag - Donnerstag:  $\approx 8\%$
  - Freitag:  $\approx 7\%$
  - Samstag:  $\approx 5\%$
  - Sonntag:  $\approx 3\%$

# ”Grad” der Zeitabhängigkeit

	#delete mins	slow-down	time [ms]	slow-down
kein	2,239,500	0.00%	1219.4	0.00%
Montag	2,377,830	6.18%	1553.5	27.40%
DiDo	2,305,440	2.94%	1502.9	23.25%
Freitag	2,340,360	4.50%	1517.2	24.42%
Samstag	2,329,250	4.01%	1470.4	20.59%
Sonntag	2,348,470	4.87%	1464.4	20.09%

## Beobachtung:

- kaum Veränderung in Suchraum
- Anfragen etwas langsamer durch Auswertung

## Beobachtung:

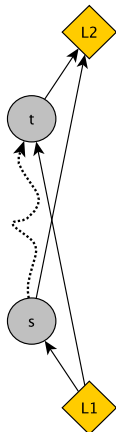
- Nicht durchführbar auf Europa-Instanz durch zu großen Speicherbedarf ( $> 32$  GiB RAM)
  - Interpoliert:
    - Suchraum steigt um ca. 10%
    - Suchzeiten um einen Faktor von bis zu 2 500 über Dijkstra
- ⇒ inpraktikabel

## Zeitabhängige Netzwerke (Basics)

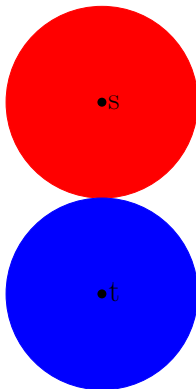
- Funktionen statt Konstanten an Kanten
- Operationen werden teurer
  - $\mathcal{O}(\log |I|)$  für Auswertung
  - $\mathcal{O}(|I^f| + |I^g|)$  für Linken und Minimum
  - Speicherverbrauch explodiert
- Zeitanfragen:
  - Normaler Dijkstra
  - Kaum langsamer (lediglich Auswertung)
- Profilanfragen
  - nicht zu handhaben

# Beschleunigungstechniken

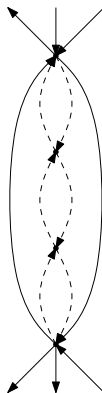
## Landmarken



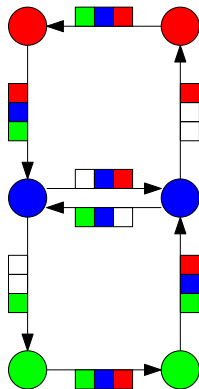
## Bidirektionale Suche



## Kontraktion



## Arc-Flags



## Vorbereitung:

- wähle eine Hand voll ( $\approx 16$ ) Knoten als **Landmarken**
- berechne Abstände von und zu allen Landmarken

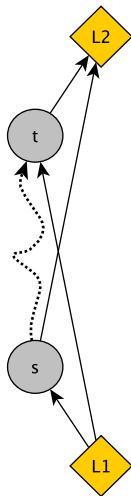
## Anfrage:

- benutze Landmarken und Dreiecksungleichung um eine **untere Schranke** für den Abstand zum Ziel zu bestimmen

$$d(s, t) \geq d(L_1, t) - d(L_1, s)$$

$$d(s, t) \geq d(s, L_2) - d(t, L_2)$$

- verändert **Reihenfolge** der besuchten Knoten



## Beobachtung:

- Korrektheit von ALT basiert darauf, dass reduzierte Kosten größergleich 0 sind

$$\text{len}_\pi(u, v) = \text{len}(u, v) - \pi(u) + \pi(v) \stackrel{!}{\geq} 0$$

- durch Erhöhen der Kantengewichte wird dies nicht verletzt

## Beobachtung:

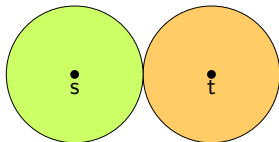
- Korrektheit von ALT basiert darauf, dass reduzierte Kosten größergleich 0 sind

$$\text{len}_\pi(u, v) = \text{len}(u, v) - \pi(u) + \pi(v) \stackrel{!}{\geq} 0$$

- durch Erhöhen der Kantengewichte wird dies nicht verletzt

## Somit:

- Definiere lowerbound-Graph  $\underline{G} = (V, E, \underline{\text{len}})$  mit  $\underline{\text{len}} := \min \text{len}$
- Vorberechnung auf lowerbound-Graph
- korrekt aber eventuell langsamere Anfragezeiten



- starte zweite Suche von  $t$
- relaxiere rückwärts nur eingehende Kanten
- stoppe die Suche, wenn beide Suchräume sich treffen

## Zeitanfragen:

- Ankunft unbekannt  $\Rightarrow$  Rückwärtsuche?

## Zeitanfragen:

- Ankunft unbekannt  $\Rightarrow$  Rückwärtsuche?
- Rückwärtssuche nur zum Einschränken der Vorwärtssuche benutzen
- je nach Beschleunigungstechnik verschieden  $\rightsquigarrow$  später

## Zeitanfragen:

- Ankunft unbekannt  $\Rightarrow$  Rückwärtsuche?
- Rückwärtssuche nur zum Einschränken der Vorwärtssuche benutzen
- je nach Beschleunigungstechnik verschieden  $\rightsquigarrow$  später

## Profilanfragen:

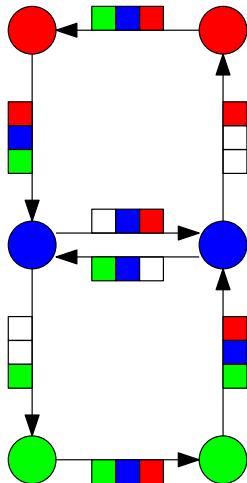
- Anfrage zu allen Startzeitpunkten
- somit Rückwärtsuche kein Problem
- $\mu$ : tentative Abstandsfunktion
- breche ab, wenn  $\text{minKey}(\vec{Q}) + \text{minKey}(\overleftarrow{Q}) \geq \bar{\mu}$   
Erinnere: key von  $v$  ist der lowerbound seiner Profildfunktion

## Idee:

- **partitioniere** den Graph in  $k$  Zellen
- hänge ein **Label** mit  $k$  Bits an jede Kante
- zeigt ob  $e$  wichtig für die Zielzelle ist
- **modifizierter** Dijkstra überspringt unwichtige Kanten

## Beobachtung:

- Partition wird auf ungewichtetem Graphen durchgeführt
- Flaggen müssen allerdings aktualisiert werden



## Idee:

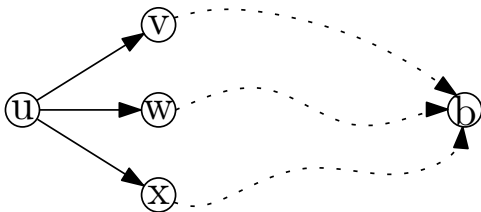
- ändere **Intuition** einer gesetzten Flagge
- Konzept **bleibt gleich**: Eine Flagge pro Kante und Region
- setze Flagge wenn Kante **mindestens ein mal** am Tag “wichtig” ist

## Idee:

- ändere **Intuition** einer gesetzten Flagge
- Konzept **bleibt gleich**: Eine Flagge pro Kante und Region
- setze Flagge wenn Kante **mindestens ein mal** am Tag “wichtig” ist

## Anpassung:

- für alle Randknoten  $b$  und alle Knoten  $u$ :
- Berechne Abstandsfunktion  $d_*(u, b)$
- setze Flagge wenn gilt  $\text{len}(u, v) \oplus d_*(v, b) \not\leq d_*(u, b)$

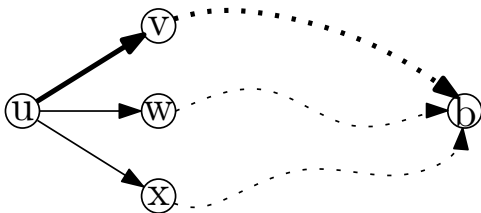


## Idee:

- ändere **Intuition** einer gesetzten Flagge
- Konzept **bleibt gleich**: Eine Flagge pro Kante und Region
- setze Flagge wenn Kante **mindestens ein mal** am Tag “wichtig” ist

## Anpassung:

- für alle Randknoten  $b$  und alle Knoten  $u$ :
- Berechne Abstandsfunktion  $d_*(u, b)$
- setze Flagge wenn gilt  $\text{len}(u, v) \oplus d_*(v, b) \not\leq d_*(u, b)$

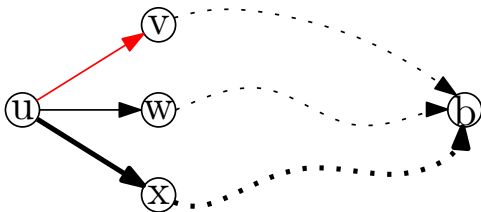


## Idee:

- ändere **Intuition** einer gesetzten Flagge
- Konzept **bleibt gleich**: Eine Flagge pro Kante und Region
- setze Flagge wenn Kante **mindestens ein mal** am Tag “wichtig” ist

## Anpassung:

- für alle Randknoten  $b$  und alle Knoten  $u$ :
- Berechne Abstandsfunktion  $d_*(u, b)$
- setze Flagge wenn gilt  $\text{len}(u, v) \oplus d_*(v, b) \not\leq d_*(u, b)$

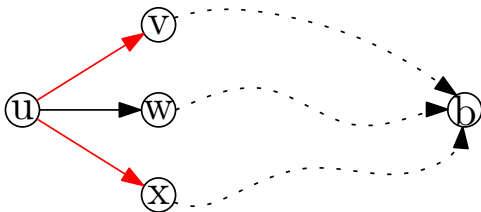


## Idee:

- ändere **Intuition** einer gesetzten Flagge
- Konzept **bleibt gleich**: Eine Flagge pro Kante und Region
- setze Flagge wenn Kante **mindestens ein mal** am Tag “wichtig” ist

## Anpassung:

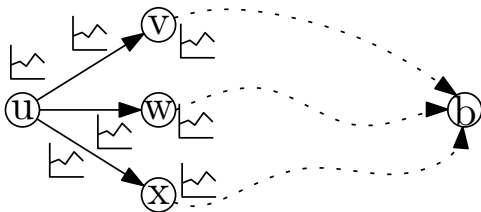
- für alle Randknoten  $b$  und alle Knoten  $u$ :
- Berechne Abstandsfunktion  $d_*(u, b)$
- setze Flagge wenn gilt  $\text{len}(u, v) \oplus d_*(v, b) \neq d_*(u, b)$



## Beobachtung:

- **viele** Interpolationspunkte (Straße)
- Berechnung der Abstandsfunktionen ist sehr zeitintensiv
- Laufzeit stark abhängig von der Komplexität der Funktionen

## Idee:

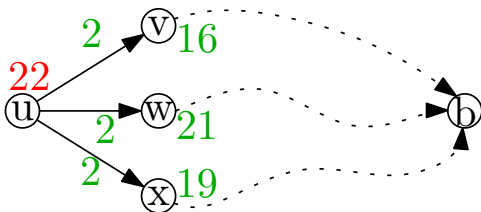


## Beobachtung:

- viele Interpolationspunkte (Straße)
- Berechnung der Abstandsfunktionen ist sehr zeitintensiv
- Laufzeit stark abhängig von der Komplexität der Funktionen

## Idee:

- benutze über- und Unterapproximation

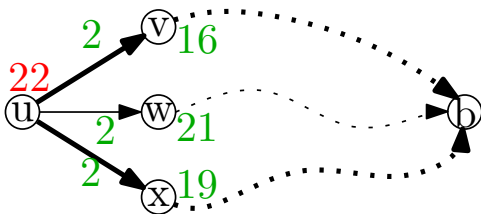


## Beobachtung:

- viele Interpolationspunkte (Straße)
- Berechnung der Abstandsfunktionen ist sehr zeitintensiv
- Laufzeit stark abhängig von der Komplexität der Funktionen

## Idee:

- benutze über- und Unterapproximation

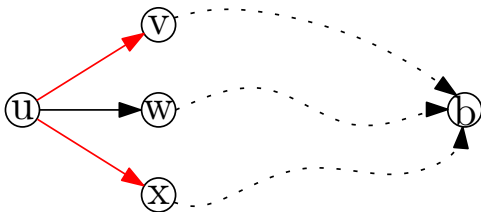


## Beobachtung:

- **viele** Interpolationspunkte (Straße)
- Berechnung der Abstandsfunktionen ist sehr zeitintensiv
- Laufzeit stark abhängig von der Komplexität der Funktionen

## Idee:

- benutze **über-** und **Unterapproximation**
- ⇒ schnellere Vorberechnung,  
langsamere Anfragen
- ⇒ aber immer noch **korrekt**



## Idee:

- führe von jedem Randknoten  $K$  Zeitanfragen aus
- mit fester Ankunftszeit
- setze Flagge, wenn Kante auf einem dem Bäume eine Baumkante ist

## Idee:

- führe von jedem Randknoten  $K$  Zeitanfragen aus
- mit fester Ankunftszeit
- setze Flagge, wenn Kante auf einem dem Bäume eine Baumkante ist

## Beobachtungen:

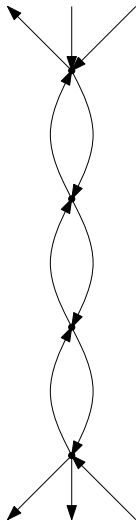
- Flaggen eventuell nicht korrekt
- ein Pfad wird aber immer gefunden
- Fehlerrate?

## Knoten-Reduktion:

- entferne Knoten
- füge neue Kanten (**Shortcuts**) hinzu, um die Abstände zwischen verbleibenden Knoten zu erhalten

## Zeugensuche:

- behalte nur relevante Shortcuts
- lokale Suche während oder nach Knoten-Reduktion



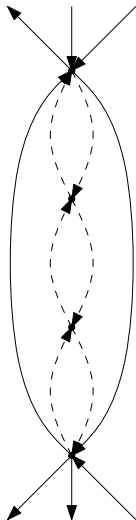
# Kontraktion

## Knoten-Reduktion:

- entferne Knoten
- füge neue Kanten (**Shortcuts**) hinzu, um die Abstände zwischen verbleibenden Knoten zu erhalten

## Zeugensuche:

- behalte nur relevante Shortcuts
- lokale Suche während oder nach Knoten-Reduktion



## Zeitunabhängig:

- Kante  $(u, v)$  nicht nötig, wenn  $(u, v)$  nicht Teil des kürzesten Weges von  $u$  nach  $v$  ist, also  $\text{len}(u, v) > d(u, v)$
- lokale Dijkstra-Suche von  $u$

## Zeitabhängig:

## Zeitunabhängig:

- Kante  $(u, v)$  nicht nötig, wenn  $(u, v)$  nicht Teil des kürzesten Weges von  $u$  nach  $v$  ist, also  $\text{len}(u, v) > d(u, v)$
- lokale Dijkstra-Suche von  $u$

## Zeitabhängig:

- Kante  $(u, v)$  nicht nötig, wenn  $(u, v)$  nicht Teil eines kürzesten Wege von  $u$  nach  $v$  ist, also  $\text{len}(u, v) > d_*(u, v)$
- lokale Profilsuche
- Problem: deutlich langsamer

## Idee:

- führe zunächst zwei Dijkstra-Suchen mit  $\underline{\text{len}}$  und  $\overline{\text{len}}$  durch
- relaxiere dann nur solche Kanten  $(u, v)$ , für die  $\underline{d}(s, u) + \underline{\text{len}}(u, v) \leq \overline{d}(s, v)$  gilt
- lokale Profilsuche in diesem Korridor

## Anmerkung:

- auch zur Beschleunigung von  $s$ - $t$  Profil-Suchen

## Problem:

- hoher Speicherbedarf der Shortcuts (Straße)

## Ideen:

- Shortcuts nur approximieren, **inexakte Anfragen**
- Keine Gewichte am Shortcut speichern, stattdessen on-the-fly entpacken und Pfad linken **spart Speicher, kostet Laufzeit**
- speichere auf Shortcuts Über- und Unterapproximation der Funktionen
  - induzieren wieder Korridor (aber genaueren als nur Min/Max!)
  - entpacke Shortcuts im Korridor, dies gibt einen Teil des Originalgraphen
  - benutze nun die nicht-approximierten Originalkanten für eine **exakte Suche**

## Basismodule:

- 0 Bidirektionale Suche
- + Landmarken
- + Kontraktion
- + Arc-Flags

## Somit sind folgende Algorithmen gute Kandidaten

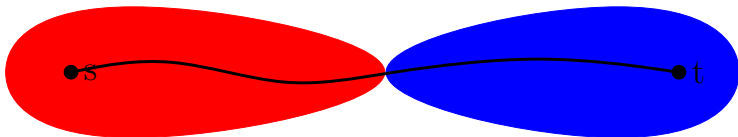
- ALT
- Core-ALT
- SHARC
- Contraction Hierarchies
- MLD

# Bidirektionaler zeitabhängiger ALT

● s

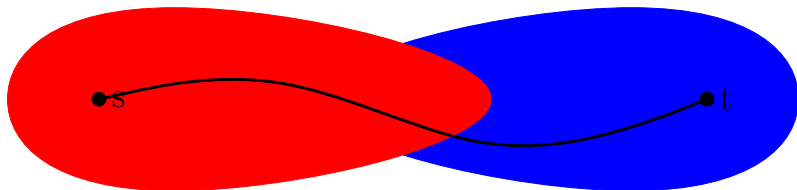
● t

**Idee - Drei Phasen:**



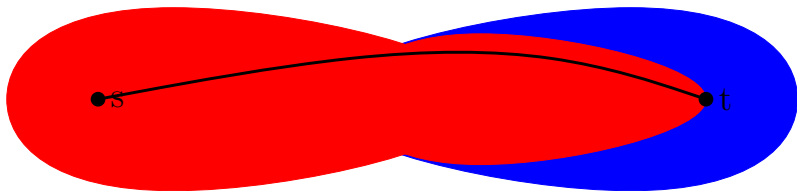
## Idee - Drei Phasen:

- 1 Vorwärts zeitabhängig, Rückwärtssuche benutzt **Minima** der Funktionen. Fertig wenn Suchen sich treffen. Berechne **zeitabhängige** tentative Distanz  $\mu$  (durch Auswerten des gefundenen Weges, alternativ: Rückwärtssuche schleift auch Maxima durch, benutzt diese zum bestimmen von  $\mu$ )



## Idee - Drei Phasen:

- 1 Vorwärts zeitabhängig, Rückwärtssuche benutzt **Minima** der Funktionen. Fertig wenn Suchen sich treffen. Berechne **zeitabhängige** tentative Distanz  $\mu$  (durch Auswerten des gefundenen Weges, alternativ: Rückwärtssuche schleift auch Maxima durch, benutzt diese zum bestimmen von  $\mu$ )
- 2 Rückwärtssuche arbeitet weiter bis  $\minKey(\overleftarrow{Q}) > \mu$



## Idee - Drei Phasen:

- 1 Vorwärts zeitabhängig, Rückwärtssuche benutzt **Minima** der Funktionen. Fertig wenn Suchen sich treffen. Berechne **zeitabhängige** tentative Distanz  $\mu$  (durch Auswerten des gefundenen Weges, alternativ: Rückwärtssuche schleift auch Maxima durch, benutzt diese zum bestimmen von  $\mu$ )
- 2 Rückwärtssuche arbeitet weiter bis  $\minKey(\overleftarrow{Q}) > \mu$
- 3 Vorwärtssuche arbeitet weiter bis  $t$  abgearbeitet worden ist und besucht nur Knoten, die die Rückwärtssuche zuvor besucht hat

## Beobachtung:

- Phase 2 läuft recht lange weiter, bis  $\min\text{Key}(\overleftarrow{Q}) > \mu$  gilt
- insbesondere dann schlecht, wenn die lower bounds stark vom echten Wert abweichen

## Approximation:

- breche Phase 2 bereits ab, wenn  $\min\text{Key}(\overleftarrow{Q}) \cdot K > \mu$  gilt
- dann ist der berechnete Weg eine  $K$ -Approximation des kürzesten Weges

scen.	algorithm	K	Error				Query		
			rate	relative av.	max	abs. max [s]	#sett. nodes	#rel. edges	time [ms]
mid	uni-ALT	–	0.0%	0.000%	0.00%	0	200 236	239 112	147.20
	TDALT	1.00	0.0%	0.000%	0.00%	0	116 476	138 696	98.27
		1.15	12.4%	0.094%	14.32%	1 892	50 764	60 398	36.91
		1.50	12.5%	0.097%	27.59%	1 892	50 742	60 371	36.86
Sat	uni-ALT	–	0.0%	0.000%	0.00%	0	148 331	177 568	100.07
	TDALT	1.00	0.0%	0.000%	0.00%	0	63 717	76 001	47.41
		1.15	10.5%	0.088%	13.97%	2 613	50 042	59 607	36.00
		1.50	10.6%	0.089%	26.17%	2 613	50 036	59 600	35.63
Sun	uni-ALT	–	0.0%	0.000%	0.00%	0	142 631	170 670	92.79
	TDALT	1.00	0.0%	0.000%	0.00%	0	58 956	70 333	42.96
		1.15	10.4%	0.088%	14.28%	1 753	50 349	59 994	36.04
		1.50	10.5%	0.089%	32.08%	1 753	50 345	59 988	35.74

## Idee

- begrenze Beschleunigungstechnik auf kleinen Subgraphen (Kern)

s ●

● t

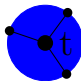
## Vorbereitung

- kontrahiere Graphen zu einem Kern
- Landmarken nur im Kern

## Anfrage

## Idee

- begrenze Beschleunigungstechnik auf kleinen Subgraphen (**Kern**)



## Vorbereitung

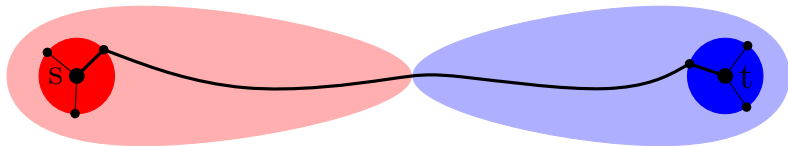
- kontrahiere Graphen zu einem Kern
- Landmarken nur im Kern

## Anfrage

- Initialphase: normaler Dijkstra

## Idee

- begrenze Beschleunigungstechnik auf kleinen Subgraphen (Kern)



## Vorbereitung

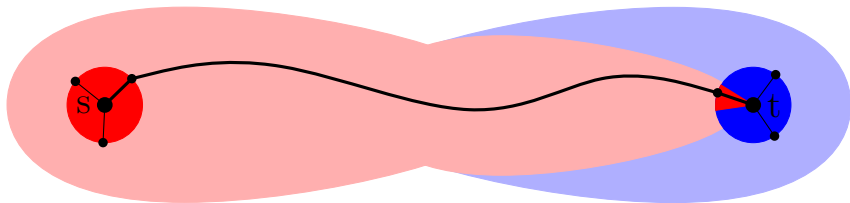
- kontrahiere Graphen zu einem Kern
- Landmarken nur im Kern

## Anfrage

- Initialphase: normaler Dijkstra
- benutze Landmarken nur im Kern

## Idee

- begrenze Beschleunigungstechnik auf kleinen Subgraphen (**Kern**)



## Vorbereitung

- kontrahiere Graphen zu einem Kern
- Landmarken nur im Kern

## Anfrage

- Initialphase: normaler Dijkstra
- benutze Landmarken nur im Kern
- zeitabhängig:
  - Rückwärtssuche ist zeitunabhängig
  - Vorwärtssuche darf **alle** Knoten der Rückwärtssuche besuchen

scenario	K	Preproc.		Error			Query			
		time [min]	space [B/n]	rate	relative av.	max	abs. max [s]	#settled nodes	#relaxed edges	time [ms]
Monday	1.00	9	50.3	0.0%	0.000%	0.00%	0	2984	11316	4.84
	1.15	9	50.3	8.3%	0.051%	11.00%	1618	1588	5303	1.84
	1.50	9	50.3	8.3%	0.052%	17.25%	1618	1587	5301	1.84
midweek	1.00	9	50.3	0.0%	0.000%	0.00%	0	3190	12255	5.36
	1.15	9	50.3	8.2%	0.051%	13.84%	2408	1593	5339	1.87
	1.50	9	50.3	8.2%	0.052%	13.84%	2408	1592	5337	1.86
Friday	1.00	8	44.9	0.0%	0.000%	0.00%	0	3097	12162	5.21
	1.15	8	44.9	7.8%	0.052%	11.29%	2348	1579	5376	1.82
	1.50	8	44.9	7.8%	0.054%	21.19%	2348	1579	5374	1.82
Saturday	1.00	6	27.8	0.0%	0.000%	0.00%	0	1856	7188	2.42
	1.15	6	27.8	4.4%	0.031%	11.50%	1913	1539	5542	1.71
	1.50	6	27.8	4.4%	0.031%	24.17%	1913	1539	5541	1.71
Sunday	1.00	5	19.1	0.0%	0.000%	0.00%	0	1773	6712	2.13
	1.15	5	19.1	4.0%	0.029%	12.72%	1400	1551	5541	1.68
	1.50	5	19.1	4.1%	0.029%	17.84%	1400	1550	5540	1.68

## Vorbereitung:

- Multi-Level-Partition
- iterativer Prozess:
  - kontrahiere Subgraphen
  - berechne Flaggen
- Flaggenverfeinerung

## Anpassung:

- Kontraktion und Flaggen berechnung anpassen
- Verfeinerung durch (lokale) Profilsuchen

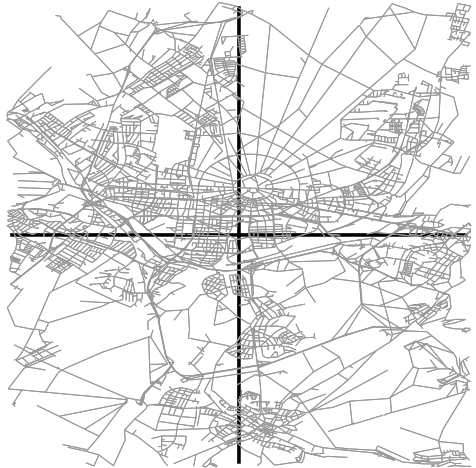


## Vorbereitung:

- Multi-Level-Partition
- iterativer Prozess:
  - kontrahiere Subgraphen
  - berechne Flaggen
- Flaggenverfeinerung

## Anpassung:

- Kontraktion und Flaggen berechnung anpassen
- Verfeinerung durch (lokale) Profilsuchen

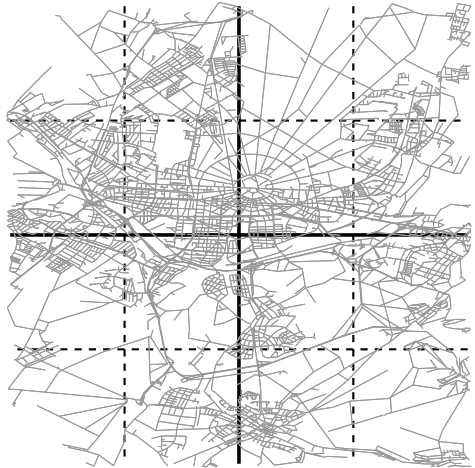


## Vorbereitung:

- Multi-Level-Partition
- iterativer Prozess:
  - kontrahiere Subgraphen
  - berechne Flaggen
- Flaggenverfeinerung

## Anpassung:

- Kontraktion und Flaggen berechnung anpassen
- Verfeinerung durch (lokale) Profilsuchen

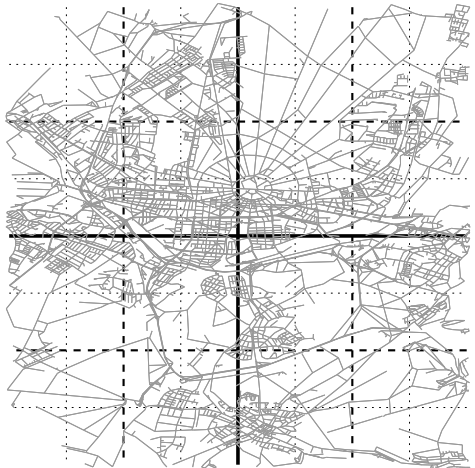


## Vorbereitung:

- Multi-Level-Partition
- iterativer Prozess:
  - kontrahiere Subgraphen
  - berechne Flaggen
- Flaggenverfeinerung

## Anpassung:

- Kontraktion und Flaggen berechnung anpassen
- Verfeinerung durch (lokale) Profilsuchen

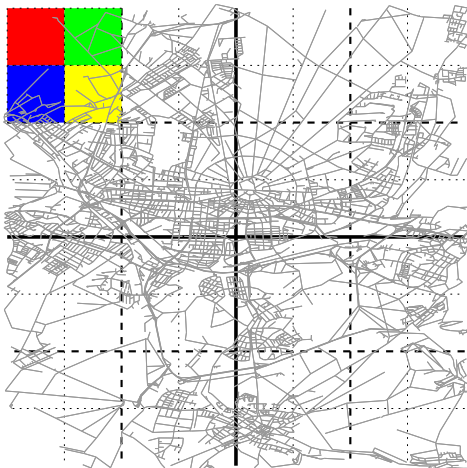


## Vorbereitung:

- Multi-Level-Partition
- iterativer Prozess:
  - kontrahiere Subgraphen
  - berechne Flaggen
- Flaggenverfeinerung

## Anpassung:

- Kontraktion und Flaggen berechnung anpassen
- Verfeinerung durch (lokale) Profilsuchen

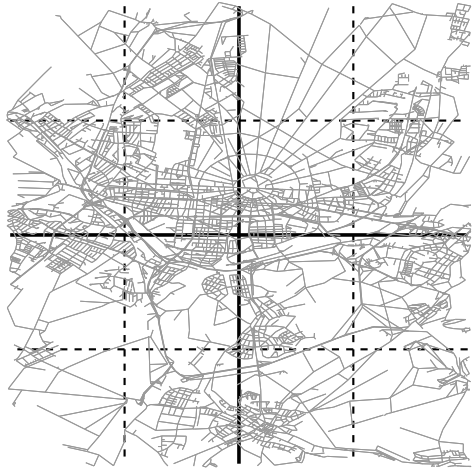


## Vorbereitung:

- Multi-Level-Partition
- iterativer Prozess:
  - kontrahiere Subgraphen
  - berechne Flaggen
- Flaggenverfeinerung

## Anpassung:

- Kontraktion und Flaggen berechnung anpassen
- Verfeinerung durch (lokale) Profilsuchen

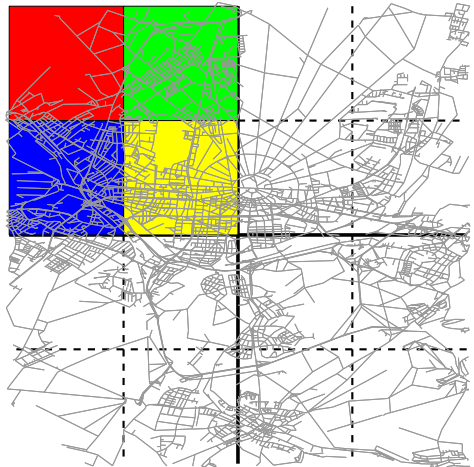


## Vorbereitung:

- Multi-Level-Partition
- iterativer Prozess:
  - kontrahiere Subgraphen
  - berechne Flaggen
- Flaggenverfeinerung

## Anpassung:

- Kontraktion und Flaggen berechnung anpassen
- Verfeinerung durch (lokale) Profilsuchen

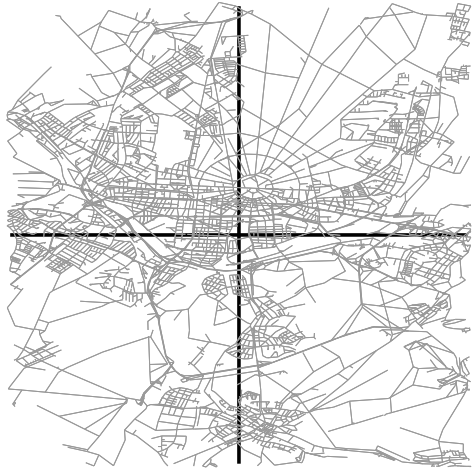


## Vorbereitung:

- Multi-Level-Partition
- iterativer Prozess:
  - kontrahiere Subgraphen
  - berechne Flaggen
- Flaggenverfeinerung

## Anpassung:

- Kontraktion und Flaggen berechnung anpassen
- Verfeinerung durch (lokale) Profilsuchen

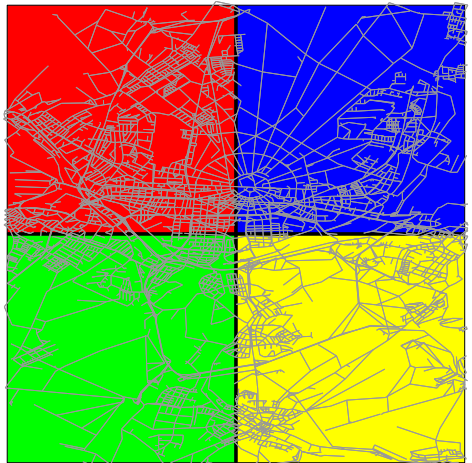


## Vorbereitung:

- Multi-Level-Partition
- iterativer Prozess:
  - kontrahiere Subgraphen
  - berechne Flaggen
- Flaggenverfeinerung

## Anpassung:

- Kontraktion und Flaggen berechnung anpassen
- Verfeinerung durch (lokale) Profilsuchen



scenario	algom	Preprocessing				Time-Queries	
		time [h:m]	space [B/n]	edge inc.	points inc.	time [ms]	speed up
Monday	eco	1:16	156.6	25.4%	366.8%	24.55	63
midweek	eco	1:16	154.9	25.4%	363.8%	25.06	60
Friday	eco	1:10	142.0	25.4%	358.0%	22.07	69
Saturday	eco	0:42	90.3	25.0%	283.6%	5.34	276
	agg	48:57	84.3	24.5%	264.4%	0.58	2554
Sunday	eco	0:30	64.6	24.6%	215.8%	1.86	787
	agg	27:20	60.7	24.1%	202.6%	0.50	2904
no traffic	static	0:06	13.5	23.9%	23.9%	0.30	4075

scenario	algo	Prepro		Error			Time-Queries	
		time [h:m]	space [B/n]	error -rate	max rel.	max abs.[s]	time [ms]	spd up
Monday	heu	3:30	138.2	0.46%	0.54%	39.3	0.69	2 253
midweek	heu	3:26	137.2	0.82%	0.61%	48.3	0.69	2 164
Friday	heu	3:14	125.2	0.50%	0.50%	50.3	0.64	2 358
Saturday	heu	2:13	80.4	0.18%	0.23%	16.9	0.51	2 887
Sunday	heu	1:48	58.8	0.09%	0.36%	14.9	0.46	3 163
no	static	0:06	13.5	0.00%	0.00%	0.0	0.30	4 075

## Beobachtung:

- Fehler sehr gering
- hoher Speicherverbrauch

traffic	var.	Time-Queries		Profile-Queries			
		#del. mins	time [ms]	#del. mins	#re- ins.	time [ms]	profile /time
Monday	eco	19 136	24.55	19 768	402	51 122	2 082.6
	heu	810	0.69	1 071	24	1 008	1 460.9
midweek	eco	19 425	25.06	20 538	432	60 147	2 400.3
	heu	818	0.69	1 100	27	1 075	1 548.4
Friday	eco	17 412	22.07	19 530	346	52 780	2 391.9
	heu	769	0.64	1 049	21	832	1 293.2
Saturday	eco	5 284	5.34	5 495	44	3 330	624.0
	agg	721	0.58	865	9	134	232.5
	heu	666	0.51	798	8	98	191.9
Sunday	eco	2 142	1.86	2 294	12	536	288.1
	agg	670	0.50	781	5	57	113.5
	heu	635	0.46	738	5	45	97.9

## Vorbereitung:

- benutze gleiche Knotenordnung
- kontrahiere zeitabhängig
- erzeugt Suchgraphen  $G' = (V, \uparrow E \cup \downarrow E)$

## Vorbereitung:

- benutze gleiche Knotenordnung
- kontrahiere zeitabhängig
- erzeugt Suchgraphen  $G' = (V, \uparrow E \cup \downarrow E)$

## Anfrage

- Rückwärts aufwärts mittels min-max Suche (Phase 1)
- markiere alle Kanten  $(u, v)$  aus  $\downarrow E$  mit  $\underline{d(u, v)} + \underline{d(v, t)} \leq \overline{d(u, v)}$
- diese Menge sei  $\downarrow E'$
- zeitabhängige Vorwärtssuche in  $(V, \uparrow E \cup \downarrow E')$  (Phase 2)

input	type of ordering	Contr.			Queries	
		ordering [h:m]	const. [h:m]	space [B/n]	time [ms]	speed up
Monday	static min	0:05	0:20	1 035	1.19	1 240
	timed	1:47	0:14	750	1.19	1 244
midweek	static min	0:05	0:20	1 029	1.22	1 212
	timed	1:48	0:14	743	1.19	1 242
Friday	static min	0:05	0:16	856	1.11	1 381
	timed	1:30	0:12	620	1.13	1 362
Saturday	static min	0:05	0:08	391	0.81	1 763
	timed	0:52	0:08	282	1.09	1 313
Sunday	static min	0:05	0:06	248	0.71	1 980
	timed	0:38	0:07	177	1.07	1 321

## Idee:

- speicher jeden Shortcut als Approximation
- reduziert Speicher um bis zu Faktor 10

## Idee:

- speicher jeden Shortcut als Approximation
- reduziert Speicher um bis zu Faktor 10

## Query:

- low-up bound Suchen in approximierter CH (Phase 1–3)
- alle Knoten an denen Suchen sich treffen: Kandidaten  $C$
- entpacke alle (approximierten) Shortcuts auf wegen  $s-C-t$  Pfaden
- erzeugt (exakten) Subgraphen (Korridor)
- time-dependent Dijkstra im Korridor (Phase 4)
- nicht viel langsamer (Faktor 2)
- ist **exakt**

method	$\epsilon$	space		time		delMin		edges		evals		error [%]	
	[%]	[B/n]	GRO	[ms]	SPD	#	SPD	#	SPD	#	SPD	MAX	AVG
Germany midweek													
TCH	-	994	10.4	0.72	1 440	520	4 616	5 813	951	1 269	162	0.00	0.00
TCH (cor.)	0.0	994	10.4	0.74	1 401	639	3 756	7 092	780	76	2 704	0.00	0.00
	0.1	286	3.0	0.71	1 460	642	3 739	7 128	770	77	2 669	0.10	0.02
	1.0	214	2.3	0.72	1 440	654	3 670	7 262	762	84	2 446	1.01	0.27
	10.0	113	1.2	1.03	1 006	897	2 676	10 096	548	223	921	9.75	3.84
ATCH (UoD)	0.1	308	3.2	1.10	942	554	4 332	7 734	715	3 080	67	0.00	0.00
	1.0	239	2.5	1.27	816	582	4 124	8 338	664	3 347	61	0.00	0.00
	10.0	163	1.7	2.40	432	824	2 913	21 036	263	7 486	27	0.00	0.00
	$\infty$	118	1.2	1.45	714	698	3 439	20 116	275	3 153	65	0.00	0.00

## Variante 1:

- normale Profilsuche in der CH
- langsam

## Variante 1:

- normale Profilsuche in der CH
- langsam

## Variante 2:

- normale Profilsuche im Korridor
- besser aber es geht noch besser

## Variante 1:

- normale Profilsuche in der CH
- langsam

## Variante 2:

- normale Profilsuche im Korridor
- besser aber es geht noch besser

## Variante 3:

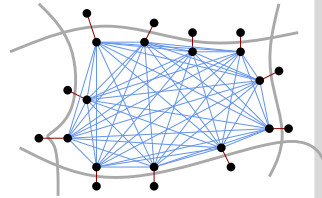
- Kontraktion des Corridors
  - Interpolationspunkte steigen langsamer an
- ⇒ ca. 30 ms

method	$\epsilon$	space		time	delMin	edges	points	error [%]	
	[%]	[B/n]	GRO	[ms]	#	#	#	MAX	AVG
Germany midweek									
TCH	–	994	10.4	1 112.02	570	6 796	20 623 155	0.00	0.00
TCH (cor.)	0.0	994	10.4	88.87	646	7 170	1 437 892	0.00	0.00
	0.1	286	3.0	6.13	650	7 208	86 391	0.10	0.02
	1.0	214	2.3	2.94	662	7 348	35 769	1.03	0.27
	10.0	113	1.2	2.48	923	10 361	23 010	9.69	3.84
ATCH (CC)	0.1	308	3.2	36.22	650	29 551	576 099	0.00	0.00
	1.0	239	2.5	32.75	675	32 131	531 795	0.00	0.00
	10.0	163	1.7	105.45	889	92 740	1 731 359	0.00	0.00
	$\infty$	118	1.2	76.58	578	59 368	1 278 095	0.00	0.00

# Ergebnisse II

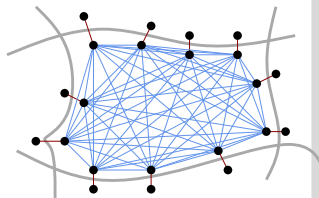
method	$\epsilon$ [%]	prepro. [h:m]	ovh. [B/n]	EA SPD	TTP REL	err. [%]
Germany midweek						
TCH	-	0:28+0:09	899	1 440	11.66	0.00
ATCH	1	0:28+0:09	144	816	31.65	0.00
ATCH	$\infty$	0:28+0:09	23	714	13.49	0.00
CALT	-	0:09	50	280	-	0.00
SH	-	1:16	155	60	0.02	0.00
L-SH	-	1:18	219	238	-	0.00
inex TCH	1	0:28+0:09	119	1 440	352.59	1.03
inex TCH	10	0:28+0:09	18	1 006	417.99	9.75
app CALT	-	0:09	50	804	-	13.84
heu SH	-	3:26	137	2 164	1.40	0.61
heu L-SH	-	3:28	201	3 915	-	0.61
spc eff SH	-	3:48	68	1 177	-	0.61
spc eff SH	-	3:48	14	491	-	0.61

## Beobachtungen



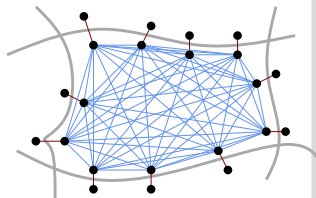
## Beobachtungen

- Partitionierung metrik-unabhängig
- viele Shortcuts / Overlay-Kanten
- Großer Vorteil von MLD (eigentlich):  
Komplettes Speicherlayout nach Partitionierung bekannt



## Beobachtungen

- Partitionierung metrik-unabhängig
- viele Shortcuts / Overlay-Kanten
- Großer Vorteil von MLD (eigentlich):  
Komplettes Speicherlayout nach Partitionierung bekannt



## Work in progress

- Speicherlayout hängt an Komplexität der  
Overlay-Kanten-Funktionen; die ist aber vorab unbekannt
- unklar ob abspeichern aller Shortcuts sinnvoll
- hilft geschickte Approximation?

## Approximation hilft auch hier (sehr viel)

$\epsilon$ [%]		Lvl 1	Lvl 2	Lvl 3	Lvl 4	Lvl 5	Lvl 6
0	breakpoints	99 M	397 M	813 M	1 356 M	—	—
	td.arc.cplx.	21	69	188	507	—	—
0.1	breakpoints	65 M	126 M	142 M	121 M	68 M	26 M
	td.arc.cplx.	14	22	33	45	50	47
1.0	breakpoints	51 M	73 M	62 M	41 M	21 M	8 M
	td.arc.cplx.	11	13	14	15	15	14
10.0	breakpoints	28 M	28 M	19 M	12 M	6 M	1 M
	td.arc.cplx.	6	5	5	5	4	2

Approximation (Imai-Iri) nach jedem Level.

	$\varepsilon$ [%]	Custom. [s]	EA query [ms]	Max err [%]
Dijkstra	—	—	1652.6	—
TDCRP	0.1	449	4.1	0.34
	1.0	201	3.2	3.02
	10.0	77	2.5	24.27
inex.TCH	0.1	—	1.8	0.14
	1.0	—	1.4	1.46
	10.0	—	1.3	15.34
ATCH	0.1	—	1.1	0.00
	1.0	—	1.2	0.00
	10.0	—	3.6	0.00

ATCH-like query possible: simpler (less phases), uni-directional search, but more expensive shortcut unpacking

# Elektromobilität



## Elektrofahrzeuge:

- Transportmittel der Zukunft.
- Emissionsfreie Mobilität.



## Aber:

- Akkukapazität eingeschränkt (und damit Reichweite).
- Lange Ladezeiten, wenig öffentliche Ladestationen.
- “Reichweitenangst”.

⇒ Berücksichtigung von Energieverbrauch bei der Routenplanung.

**Ziel:** Gegeben Startknoten  $s$  und Zielknoten  $t$ ,  
berechne Route die den Energieverbrauch minimiert.

**Ziel:** Gegeben Startknoten  $s$  und Zielknoten  $t$ ,  
berechne Route die den Energieverbrauch minimiert.

## Besonderheiten:

Rekuperation.

- Rückgewinnung von Energie möglich (bergab fahren, bremsen).
- Negative Kantengewichte möglich.
- **Aber:** keine negativen Zyklen (physikalische Gesetze).

Dijkstras Algorithmus:

- setzt nichtnegative Kantengewichte voraus.
- bleibt korrekt, aber keine polynomielle Laufzeitgarantie mehr.

Bellman Ford:

- funktioniert mit negativen Kantengewichten, aber zu langsam.

Dijkstras Algorithmus:

- nicht mehr Label-Setting.
- bleibt korrekt, aber keine polynomielle Laufzeitgarantie mehr.
- Stoppkriterium nicht mehr korrekt.

**Aber:** auf Realwelt-Instanzen schneller als Bellman Ford.

**Frage:** Stoppkriterium wiederherstellbar?

- Wenn  $t$  abgearbeitet wird, könnten sich noch Pfade in der Queue befinden, die Label  $d[t]$  durch Anhängen eines negativen (Sub-)Pfades verbessern.
- Ziel: berechne Schranke  $P_{\min} \leq 0$  auf Länge dieses Subpfades.
- Dann Abbruch, sobald  $d[t] + P_{\min} \geq \minKey(Q)$ .

**Gegeben:** Graph  $G = (V, E)$  (mit negativen Kantengewichten).

**Gesucht:** Kürzester Pfad in  $G$ .

## 1. Ansatz:

- Füge (virtuelle) Knoten  $s'$ ,  $t'$  zu  $G$  hinzu
- mit Kanten  $(s', u)$ ,  $(u, t')$  für alle  $u \in V$  (mit Gewicht 0).
- Berechne kürzesten  $s'$ - $t'$ -Weg (mit Label-Correcting Dijkstra).

**Gegeben:** Graph  $G = (V, E)$  (mit negativen Kantengewichten).

**Gesucht:** Kürzester Pfad in  $G$ .

2. Ansatz (in der Praxis schneller):

- Für jeden Knoten  $v \in V$ 
  - Starte (Label-Correcting) Suche von  $v$ .
  - Brich ab sobald  $\text{minKey}(Q) \geq 0$  (kürzester Pfad kann kein positives Präfix haben).
- Distanzlabel  $d[\cdot]$  zwischen Suchen *nicht* reinitialisiert (dadurch Abbruch, wenn zuvor bereits Pfad mit kleinerem Präfix gefunden).

**Gegeben:** Graph  $G = (V, E)$  (mit negativen Kantengewichten).

**Gesucht:** Kürzester Pfad in  $G$ .

2. Ansatz (in der Praxis schneller):

- Für jeden Knoten  $v \in V$ 
  - Starte (Label-Correcting) Suche von  $v$ .
  - Brich ab sobald  $\text{minKey}(Q) \geq 0$  (kürzester Pfad kann kein positives Präfix haben).
- Distanzlabel  $d[\cdot]$  zwischen Suchen *nicht* reinitialisiert (dadurch Abbruch, wenn zuvor bereits Pfad mit kleinerem Präfix gefunden).

Danach Stoppkriterium wieder anwendbar.

Aber: Algorithmus immer noch Label Correcting.

**Idee:** Finde zulässiges Potential  $\pi: V \rightarrow \mathbb{R}$ , so dass  
 $\text{len}(u, v) + \pi(u) - \pi(v) \geq 0$  für jede Kante  $(u, v) \in E$ .

Dann Dijkstras Algorithmus (mit Stoppkriterium) auf Graph mit reduzierten Gewichten anwendbar.

## 1. Distanzbasiertes Potential:

- Setze  $\pi(v) = d(v, v^*)$ , für beliebigen Knoten  $v^*$ .
- Berechnung mit (Label-Correcting) Query von  $v^*$ .
- Zulässigkeit folgt aus Dreiecksungleichung.

**Idee:** Finde zulässiges Potential  $\pi: V \rightarrow \mathbb{R}$ , so dass  
 $\text{len}(u, v) + \pi(u) - \pi(v) \geq 0$  für jede Kante  $(u, v) \in E$ .

Dann Dijkstras Algorithmus (mit Stoppkriterium) auf Graph mit reduzierten Gewichten anwendbar.

## 2. Höheninduziertes Potential:

- Ann.: Höhenkoordinate  $h(v)$  eines jeden Knoten gegeben.
- $\pi(v) := \alpha \cdot h(v)$  für alle  $v$ , so dass  $c(u, v) + \alpha(h(u) - h(v)) \geq 0$ .
- Kann mit Sweep über alle Kanten berechnet werden.
- Keine Garantie für zulässiges Potential (klappt für realistische Kantengewichte).

**Ziel:** Gegeben Startknoten  $s$  und Zielknoten  $t$ ,  
berechne Route die den Energieverbrauch minimiert.

## Besonderheiten:

### Akkukapazität.

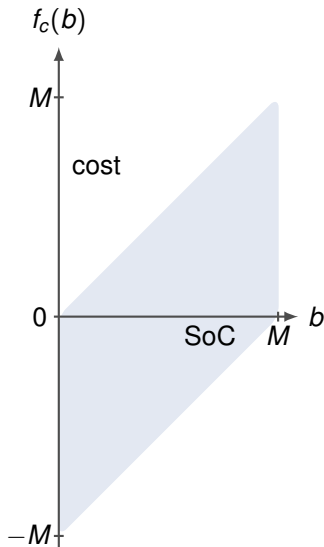
- Akku darf nicht leer laufen.
- kann nicht überladen werden.
- muss für die gesamte Route sichergestellt sein.

⇒ Ladestand (state of charge, SoC) während Query berücksichtigen.

# Modellierung des Ladestands

- Akku hat Kapazität  $M$ .
  - Kantengewichte  $c \in \mathbb{R}$  entsprechen Verbrauch.
  - Bedingung: Ladestand  $b$  immer in  $[0, M]$ .
- ⇒ Funktion  $f_c$  von Ladestand nach Verbrauch.

**Anm:** Potentiale weiterhin zulässig ( $c$  ist untere Schranke auf Verbrauchsfunktion).

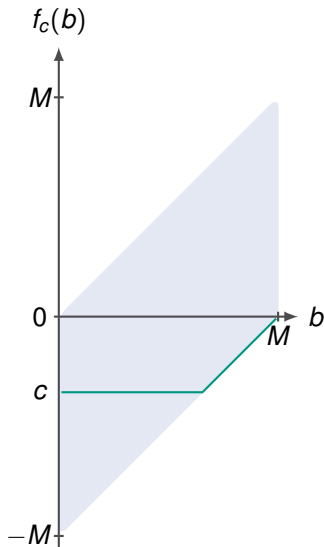


# Modellierung des Ladestands

- Akku hat Kapazität  $M$ .
- Kantengewichte  $c \in \mathbb{R}$  entsprechen Verbrauch.
- Bedingung: Ladestand  $b$  immer in  $[0, M]$ .

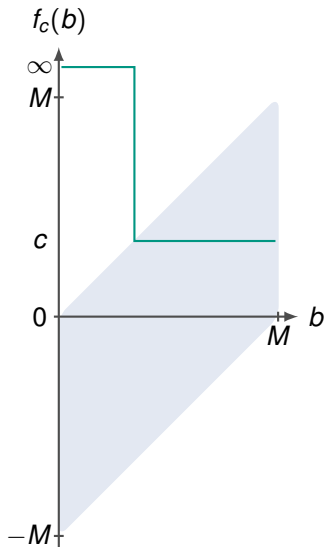
⇒ Funktion  $f_c$  von Ladestand nach Verbrauch.

**Anm:** Potentiale weiterhin zulässig ( $c$  ist untere Schranke auf Verbrauchsfunktion).



- Akku hat Kapazität  $M$ .
  - Kantengewichte  $c \in \mathbb{R}$  entsprechen Verbrauch.
  - Bedingung: Ladestand  $b$  immer in  $[0, M]$ .
- ⇒ Funktion  $f_c$  von Ladestand nach Verbrauch.

**Anm:** Potentiale weiterhin zulässig ( $c$  ist untere Schranke auf Verbrauchsfunktion).



Kostenfunktionen an Kanten bilden Ladestand auf Verbrauch ab.

## Anfragetypen (analog zu Zeitabhängigkeit:)

**SoC Query:** Für gegebenen Ladestand  $b$ , Start  $s$ , Ziel  $t$ ,  
finde besten  $s$ - $t$ -Pfad (wenn Ladestand zu Beginn  $b$ ).

Berechnung mit angepasstem Dijkstra.

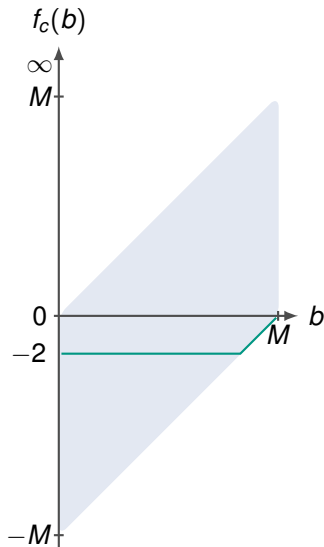
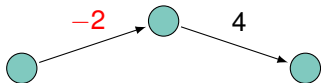
**Profilsuche:** Für Start  $s$  und Ziel  $t$ , finde beste  $s$ - $t$ -Pfade  
für *alle* möglichen Start-Ladestände.

Berechnung mit Hilfe von Link/Merge.

# Beispiel: Profilsuche

Eigenschaften:

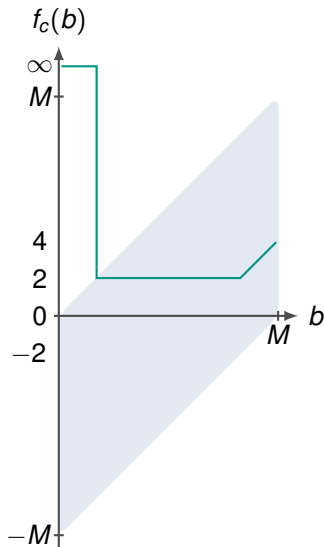
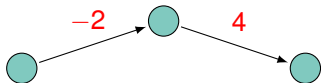
- Einzelner Pfad:  $\leq 2$  Punkte
- Allgemein (nach Mergen):  $O(m)$  Punkte
- ... in der Praxis weniger



# Beispiel: Profilsuche

Eigenschaften:

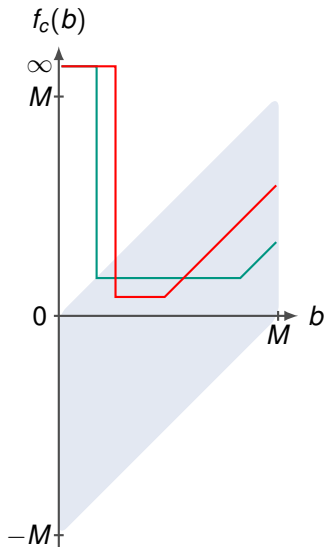
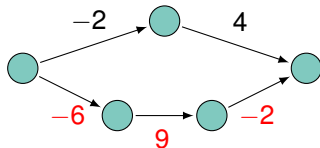
- Einzelner Pfad:  $\leq 2$  Punkte
- Allgemein (nach Mergen):  $O(m)$  Punkte
- ... in der Praxis weniger



# Beispiel: Profilsuche

Eigenschaften:

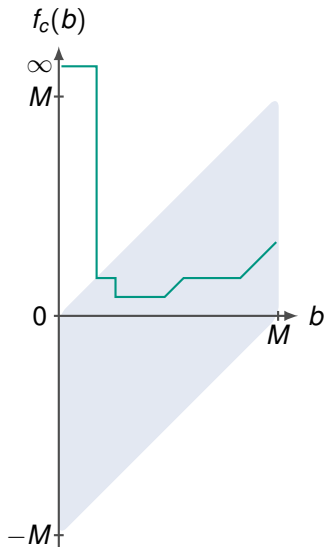
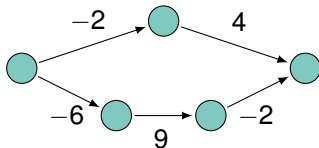
- Einzelner Pfad:  $\leq 2$  Punkte
- Allgemein (nach Mergen):  $O(m)$  Punkte
- ... in der Praxis weniger



# Beispiel: Profilsuche

Eigenschaften:

- Einzelner Pfad:  $\leq 2$  Punkte
- Allgemein (nach Mergen):  $O(m)$  Punkte
- ... in der Praxis weniger



**Ziel:** Gegeben Startknoten  $s$  und Zielknoten  $t$ ,  
berechne Route die den Energieverbrauch minimiert.

## Besonderheiten:

Energieverbrauch hängt von vielen Parametern ab.

- Temperatur, Wetterbedingungen, Beladung, ...
- Abhängig von Fahrzeugtyp, Fahrstil,
- Verkehrslage, ...

⇒ Schnelle Customization wichtig.

## 1 Metrik-unabhängige Vorberechnung

- Metrikunabhängig, keine Anpassung nötig.

## 2 Metrik-abhängige Vorberechnung (Customization)

- Cliquenanten sind Profile
- Lokale Profilsuchen
- Anpassung der Datenstrukturen

## 3 Queries

- Knotenpotentiale für Stoppkriterium
- Varianten:
  - Unidirektionale Query
  - Bidirektionale Query mit Rückwärts-Profilsuche
  - Bidirektionale Query mit Rückwärtssuche auf Schranken (ähnlich wie bei zeitabhängigen Techniken).

Algorithm	CUSTOMIZING		QUERIES	
	space [B/n]	time [s]	vertex scans	time [ms]
LC	—	—	4 471 230	709.6
LC (stop. cr.)	0.0	5.20	3 001 014	486.6
Dijkstra PV	4.0	3.91	2 361 997	288.0
Dijkstra PH	4.0	0.69	2 359 140	380.6
Prof. PH	4.0	0.70	2 904 764	741.2
MLD (LC)	10.5	4.42	3 676	2.7
MLD Uni PH	14.5	5.12	2 410	1.9
MLD BPE PH	14.5	5.12	2 266	1.4
MLD BDB PH	14.5	5.12	2 917	1.1

für EV mit 85kWh Akku (ca. 400 km Reichweite)

Metric	Unreach.	Extra Energy	Extra Time
Energy vs. Travel Time	60 %	62 %	63 %
Energy vs. Distance	25 %	15 %	4 %

- Energie explizit optimieren zahlt sich aus.
  - Kürzeste Wege energieeffizienter als schnellste.
  - Aber: Fahrzeit viel höher auf energie-optimalen Wegen.
- ⇒ Sinnvollen Trade-Off finden? (Work in progress)

02. Oktober  
17. Oktober

## Literatur:

- Daniel Delling:  
**Engineering and Augmenting Route Planning Algorithms**  
Ph.D. Thesis, Universität Karlsruhe (TH), 2009.
- Gernot Veit Batz, Robert Geisberger, Sabine Neubauer, Peter Sanders:  
**Time-Dependent Contraction Hierarchies and Approximation**  
In: *Proceedings of the 9th International Symposium on Experimental Algorithms (SEA'10)*, 2010.
- Moritz Baum, Julian Dibbelt, Thomas Pajor, Dorothea Wagner:  
**Energy-Optimal Routes for Electric Vehicles.**  
In: *Proceedings of the 21st ACM SIGSPATIAL International Conference on Advances in Geographic Information Systems*, 2013.

# Montag, 7.7.2014